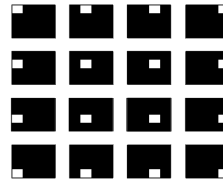


## INF 2310 - 29. mars 2017 Diskret Fouriertransform - del II

- Kjapp repetisjon
- Konvolusjonsteoremet
- Filtre og filtrering i frekvensdomenet
- Bruk av vinduer

## Repetisjon Basis-bilder



Sort er 0, hvit er 1.  
Ortogonal basis for alle  
4x4 gråtonebilder.

Eksempel:

1	3	2	1
5	4	5	3
4	1	1	2
2	3	2	6

$$= 1 * \begin{bmatrix} \cdot & \cdot & \cdot & \cdot \\ \cdot & \cdot & \cdot & \cdot \\ \cdot & \cdot & \cdot & \cdot \\ \cdot & \cdot & \cdot & \cdot \end{bmatrix} + 3 * \begin{bmatrix} \cdot & \cdot & \cdot & \cdot \\ \cdot & \cdot & \cdot & \cdot \\ \cdot & \cdot & \cdot & \cdot \\ \cdot & \cdot & \cdot & \cdot \end{bmatrix} + \dots + 6 * \begin{bmatrix} \cdot & \cdot & \cdot & \cdot \\ \cdot & \cdot & \cdot & \cdot \\ \cdot & \cdot & \cdot & \cdot \\ \cdot & \cdot & \cdot & \cdot \end{bmatrix}$$

## En alternativ basis

- Bildene

$$\cos\left(\frac{2\pi(ux + vy)}{N}\right) \quad \sin\left(\frac{-2\pi(ux + vy)}{N}\right)$$

- med frekvensene

$$u = 0, 1, \dots, N-1$$

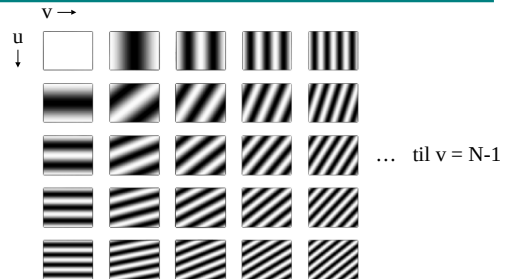
$$v = 0, 1, \dots, N-1$$

- Alle digitale gråtonebilder av størrelse NxN kan representeres ved en vektet summasjon av disse NxN sinus- og cosinus-bildene (basisbilder/basisvektorer)

Denne basisen er også ortogonal, sett bort i fra duplikat-komponentene grunnet symmetriene og antisymmetriene til cos og sin (noe vi kommer til om litt)

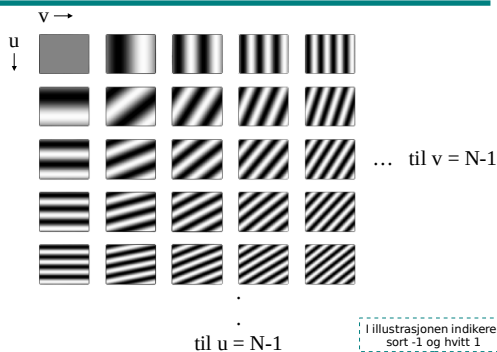
Ved ikke-kvadratiske bilder:  
 $\cos(2\pi(ux/M + vy/N))$   
 $\sin(-2\pi(ux/M + vy/N))$

## Basisbilder - cosinus



Illustrasjonen indikerer sort -1 og hvitt 1

## Basisbilder - sinus



Illustrasjonen indikerer sort -1 og hvitt 1

## 2D diskret Fouriertransform (DFT)

$$F(u, v) = \sum_{x=0}^{N-1} \sum_{y=0}^{M-1} f(x, y) e^{-2j\pi(ux/N + vy/M)}$$

Husk at  $e^{j\theta} = \cos(\theta) + j \sin(\theta)$ , slik at vi ender opp sin/cos-basisen vi er vant med:

$$F(u, v) = \sum_{x=0}^{N-1} \sum_{y=0}^{M-1} f(x, y) [\cos(2\pi(ux/N + vy/M)) + j \sin(-2\pi(ux/N + vy/M))]$$

Den inverse transformen:

$$f(x, y) = \frac{1}{NM} \sum_{u=0}^{N-1} \sum_{v=0}^{M-1} F(u, v) e^{2j\pi(ux/N + vy/M)}$$

## Litt repetisjon om DFT

- Fouriertransformen  $F(u,v)$  er periodisk:  
 $F(u,v) = F(u+kN, v+kN)$ ,  $k$  heltall
- Bildet  $f(x,y)$  implisitt periodisk:  $f(x,y) = f(x+kN, y+kN)$
- Amplitudespekteret er gitt ved  $|F(u,v)|$
- Konjugert symmetri: Hvis  $f(x,y)$  er reell, er  $F(u,v) = F^*(-u,-v)$  og altså  $|F(u,v)| = |F(-u,-v)|$
- Ofte forskyver spekteret med  $N/2$  for å få origo ( $u=v=0$ ) midt i bildet
- 2D DFT er separabelt i to 1D DFT
- Shift-teoremet:  $f(x-x_0, y-y_0) \Leftrightarrow F(u,v) e^{j2\pi(u x_0 + v y_0)/N}$

2017.03.29

INF2310

7/39

## Konvolusjonsteoremet

$$f(x,y) \star h(x,y) \Leftrightarrow F(u,v) \cdot H(u,v)$$

Konvolusjon i billedomenet  $\Leftrightarrow$  Punktvis multiplikasjon i frekvensdomenet

Det motsatte gjelder også:

$$f(x,y) \cdot h(x,y) \Leftrightarrow F(u,v) \star H(u,v)$$

Punktvis multiplikasjon i billedomenet  $\Leftrightarrow$  Konvolusjon i frekvensdomenet

Egentlig snakk om en «sirkelkonvolusjon»

Diskrete tilfellet:  
Elementvis produkt av de komplekse matrisene  $F$  og  $H$

2017.03.29

INF2310

8/39

## Anvendelser

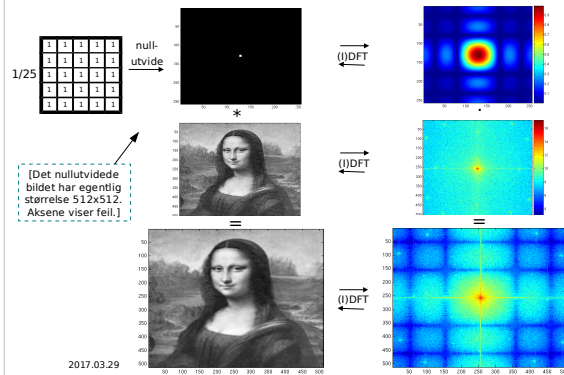
- Analyse av konvolusjonsfilter
  - Fourier-transformen til et filter  $h$  gir oss innblikk i frekvensresponsen til filteret
- Filterdesign
  - Kan designe filter i både frekvensdomenet og billedomenet
  - Begge kan implementeres som konvolusjon i billedomenet, eller som multiplikasjon i frekvensdomenet
  - $F$  og  $H$  må ha samme størrelse: Nullutvide
- Implementasjon
  - Store filtre kan implementeres raskere i frekvensdomenet

2017.03.29

INF2310

9/39

## Eksempel: Middelvefilteret



2017.03.29

## Konvolusjonsteoremet: Tommelfingerforklaring



Å (sirkel)konvolvare et bilde med en av basisbildene gir som resultat det samme basisbildet dog med mulig endret amplitude og fase

2017.03.29

INF2310

11/39

## Konvolusjonsteoremet mer formelt (1D)

$$\begin{aligned}
 \text{DFT}_k(x \otimes y) &\triangleq \sum_{n=0}^{N-1} (x \otimes y)_n e^{-j2\pi nk/N} \\
 &\triangleq \sum_{n=0}^{N-1} \sum_{m=0}^{N-1} x(m)y(n-m) e^{-j2\pi nk/N} \\
 &= \sum_{m=0}^{N-1} x(m) \underbrace{\sum_{n=0}^{N-1} y(n-m) e^{-j2\pi nk/N}}_{e^{-j2\pi mk/N} Y(k)} \\
 &= \left( \sum_{m=0}^{N-1} x(m) e^{-j2\pi mk/N} \right) Y(k) \quad (\text{by the Shift Theorem}) \\
 &\triangleq X(k)Y(k)
 \end{aligned}$$

Sirkelkonvolusjon

(Kopi fra dspiread.com)

2017.03.29

INF2310

12/39

## Design i romlige domenet og filtrering i frekvensdomenet

Har en filterkjerne og vil implementere filtreringen i frekvensdomenet:

1. Beregn DFT (fft) av bildet
2. Beregn DFT (fft) av filterkjernen (med evt nullutvidelse)
3. Multipliser de to transformerte matrisene elementvis
4. Transformer resultatet tilbake til billedet via. invers DFT (IDFT, ifft)

➤ **Husk at filteret og bildet må ha samme størrelse (nullutvide filterkjernen)**

- Husk at vi snakker sirkelkonvolusjon (må nullutvide mer [også bildet] om vi ønsker alternative randhåtering)

2017.03.29

INF2310

13 /39

## Filterdesign i Fourier-domenet Generelt

- Vi ønsker reelle konvolusjonskerner => (konjugert) symmetrisk i Fourierdomenet
- Ofte er alle **verdiene til filteret mellom 0 og 1**; 0 fjerner og 1 bevarer den aktuelle frekvensen
- Hvis DC i filteret er 1 så bevares bildets middelverdi
  - Vi viste forrige uke at DC er summen av gråtoneverdiene
  - Hvis DC i filteret er 1 så vil DC i ut-bildet bli lik DC i inn-bildet, altså vil summen av gråtoneverdiene bevares

2017.03.29

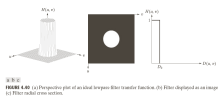
INF2310

14 /39

## Filterdesign i frekvensdomenet Lavpassfiltere

- Slipper bare gjennom lave frekvenser (mindre enn en grense  $D_0$  som kalles filterets **cut-off-frekvens**)
  - $D_0$  oppgis ofte som et tall mellom 0 og 1; da menes en cut-off =  $D_0 N/2$

- Enkelt (også kalt ideelt) lavpassfilter:



$$H(u, v) = \begin{cases} 1, & D(u, v) \leq D_0 \\ 0, & D(u, v) > D_0 \end{cases}$$

$$D(u, v) = \sqrt{(u - N/2)^2 + (v - N/2)^2}$$

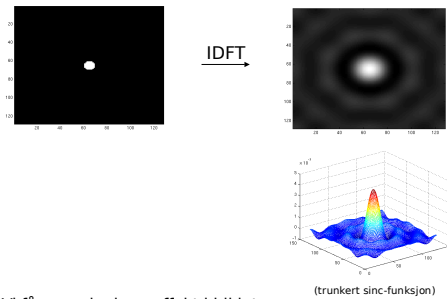
- (Ordet "ideelt" kommer fra om  $H(u, v)$  var enten 0 eller 1 for alle mulige frekvenser  $u$  og  $v$ , ikke kun  $0, 1, \dots, N-1$ . Dette er et urealiserbart filter, da filterkjemestørrelsen da vil gå mot uendelig

2017.03.29

INF2310

15 /39

## Romlig representasjon av "ideelt" lavpassfilter



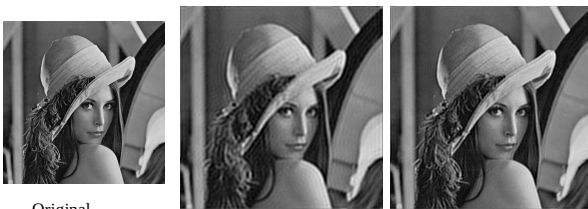
- Vi får en «ringing»-effekt i bildet
  - Og husk tommelfingerregel om utstrekning i fourier- og billedet

2017.03.29

INF2310

16 /39

## Eksempler - ideell lavpass



Original

$D_0=0.2$

$D_0=0.3$

Se på bildene i god nok oppløsning (du skal se stripe/ringing-effekter i de to til høyre).

2017.03.29

INF2310

17 /39

## MATLAB-eksempel: Ideelt lavpassfilter

```
f = double(imread('..'));
[M,N] = size(f);
H = zeros(M,N);
D0 = 0.2;

for i = 1:M
    for j = 1:N
        if sqrt( ((i-floor(M/2+1))/(M/2))^2 + ...
                ((j-floor(N/2+1))/(N/2))^2 ) <= D0
            H(i,j) = 1;
        end
    end
end

F = fftshift( fft2(f) );
g = real( ifft2( ifftshift( F.*H ) ) );
imshow(g, []);
```

*i* og *j* er array-indeksene til H og er relatert til frekvensene ved et skift:  
 $u = i - \lfloor M/2 + 1 \rfloor$   
 $v = j - \lfloor N/2 + 1 \rfloor$

Hvorfor floor(M/2+1)?  
 Hvis M er odde: DC skal være pikselen midt i filteret. Da vil filterposisjonene representere frekvensintervallet  $[-\lfloor \text{floor}(M/2), \text{floor}(M/2) \rfloor]$ . Array-indeksene vil derfor angi frekvensene hvis vi skifter med floor(M/2) (nullindekset array) eller floor(M/2+1) = ceil(M/2) (en-indeksert array).

Hvis M er like: Sentrepunktet i filteret er nå midt mellom piksler, men DC skal ligge i en piksel. Generelt kan vi velge om DC skal være den M/2-te eller (M/2+1)-te posisjonen i filteret. Det er sistnevnte som er vanlig og som brukes i FFTSHIFT og IFFTSHIFT. Med dette valget vil filterposisjonene representere frekvensintervallet  $[-M/2, M/2-1]$ . For én-indeksert skal vi da skifte med  $M/2+1 = \text{floor}(M/2+1)$ . Analog forklaring for floor(N/2+1).

2017.03.29

INF2310

18 /39

## Butterworth lavpassfilter

- Vindusfunksjoner brukes til å redusere ringing-effekten
- Butterworth lavpassfilter av orden  $n$ :

$$H(u, v) = \frac{1}{1 + |D(u, v) / D_0|^{2n}}$$

- Her vil  $D_0$  beskrive punktet der  $H(u, v)$  har falt til halvparten av sin maksimumsverdi
  - Lav filterorden ( $n$  liten):  $H(u, v)$  faller langsomt: Lite ringing
  - Høy filterorden ( $n$  stor):  $H(u, v)$  faller raskt: Mer ringing
- Andre filtre kan også brukes, f.eks. Gaussisk, Bartlett, Blackman, Hamming, Hanning

2017.03.29

INF2310

19/39

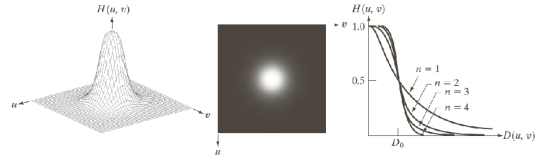


FIGURE 4.44 (a) Perspective plot of a Butterworth lowpass-filter transfer function. (b) Filter displayed as an image. (c) Filter radial cross sections of orders 1 through 4.

2017.03.29

INF2310

20/39

## Eksempler Butterworth-lavpass

$D_0=0.2$



$n=11$

$n=41$

$n=61$

2017.03.29

INF2310

21/39

## Gaussisk lavpassfilter

- Gaussisk lavpassfilter med spredning  $D_0$  er definert som:

$$H(u, v) = e^{-\frac{D^2(u, v)}{2D_0^2}}$$

altså en 2D normalfordeling (uten konstantfaktoren) med DC som forventning og  $D_0$  som standardavvik (i alle retninger, ingen kovarians).

- $H(0,0)$  er 1 og  $H$  er strengt avtagende i alle retninger ut fra DC.
- Standardavviket angir avstanden fra DC til punktet der  $H$  er  $\approx 0,6$ .
- 2D IDFT-en av et Gaussisk lavpassfilter er også Gaussisk.
  - Får ingen ringing i billedet!

2017.03.29

INF2310

22/39

## Gaussisk lavpassfilter

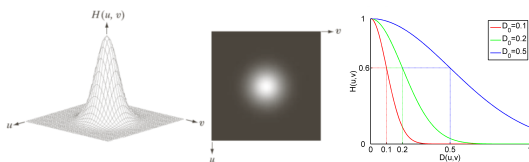


FIGURE 4.47 (a) Perspective plot of a GLPF transfer function. (b) Filter displayed as an image. (c) Filter radial cross sections for various values of  $D_0$ .

Husk tommelfingerregelen:  
Smal/bred struktur i bildet  $\Leftrightarrow$  Bred/smål struktur i Fourier-spekteret

2017.03.29

INF2310

23/39

## Høypassfiltrering

- Et høypassfilter kan defineres ut fra et lavpassfilter:

$$H_{HP}(u, v) = 1 - H_{LP}(u, v)$$

- Ideelt høypassfilter:

$$H(u, v) = \begin{cases} 0 & \text{if } D(u, v) \leq D_0 \\ 1 & \text{if } D(u, v) > D_0 \end{cases}$$

- Butterworth høypassfilter:

$$H(u, v) = \frac{1}{1 + [D_0 / D(u, v)]^{2n}}$$

- Gaussisk høypassfilter:

$$H(u, v) = 1 - e^{-\frac{D^2(u, v)}{2D_0^2}}$$

2017.03.29

INF2310

24/39

## Båndpass- og båndstopppiltere

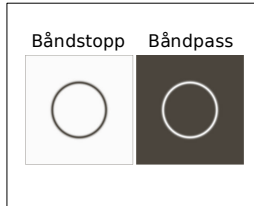
- Båndpassfilter: Slipper gjennom kun energien i et bestemt frekvensbånd  $\langle D_{low}, D_{high} \rangle$  (eller  $\langle D_0 - \Omega, D_0 + \Omega \rangle$ )
- Båndstopppilter: Fjerner energi i et bestemt frekvensbånd  $\langle D_{low}, D_{high} \rangle$

- Butterworth båndstopppilter:

$$H_s(u, v) = \frac{1}{1 + \left[ \frac{\Omega D(u, v)}{D(u, v)^2 - D_0^2} \right]^{2n}}$$

- Butterworth båndpassfilter:

$$H_p(u, v) = 1 - H_s(u, v)$$



2017.03.29

INF2310

25/39

## Notch-filtre

- Slipper igjennom (notch-passfiltre) eller stopper (notch-stopppiltere) energien i mindre predefinerte området i Fourier-spekteret.
- Også disse kan bruke de samme overgangene:
  - Ideelt, Butterworth, Gaussisk (eller én av mange andre typer).

- + Kan være svært nyttige.

- - Ofte trengs interaktivitet for å definere de aktuelle områdene.

2017.03.29

INF2310

26/39

## Eksempel: Notch-stopppilter

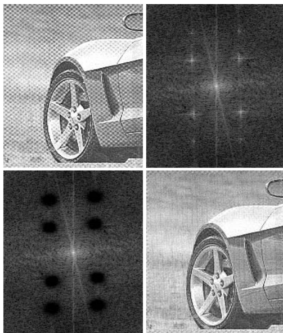


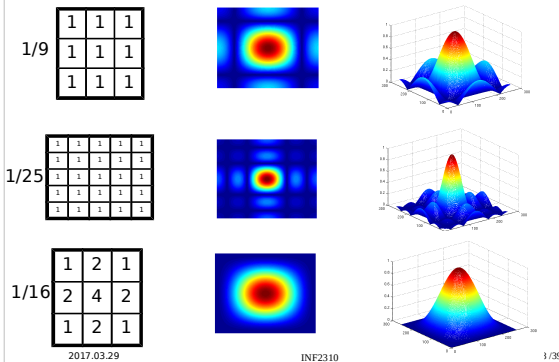
Fig. 4.64 i DIP

2017.03.29

INF2310

27/39

## Analyse av filtre Frekvensresponsen til noen vanlige filtre

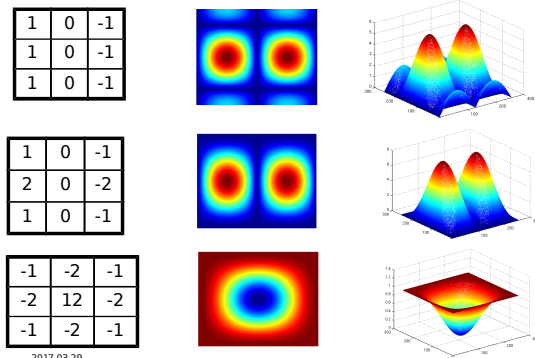


2017.03.29

INF2310

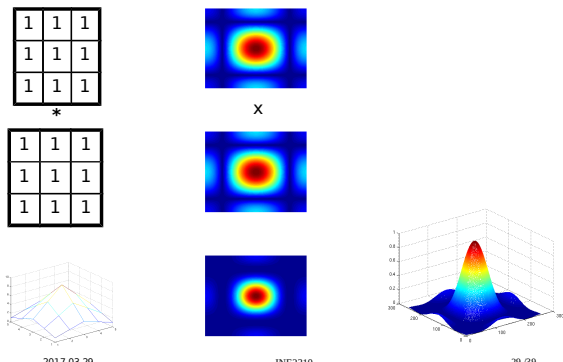
3/39

## Høypassfiltre



2017.03.29

INF2310

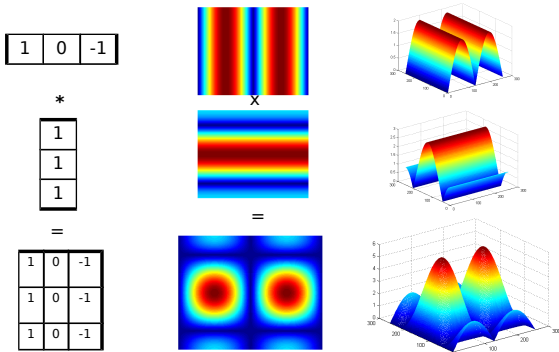


2017.03.29

INF2310

29/39

## Prewitt-filteret



## Når er filtrering raskest i frekvensdomenet?

- Anta bildet har størrelse  $N \times N$ , filterkernen  $n \times n$
- Filtrering i billedometen krever  $N^2 n^2$  multiplikasjoner og tilsvarende addisjoner
- Filtrering i frekvensdomenet:
  - FFT av bildet og filterkernen:  $2 * O(N^2 \log_2 N)$
  - Multiplikasjon i frekvensdomenet:  $N^2$  multiplikasjoner
  - Inverstransform av resultatet:  $O(N^2 \log_2 N)$
- Filtrering i frekvensdomenet raskere når filteret er stort ( $n^2 \gg \log_2 N$ )

2017.03.29

INF2310

32 / 39

## «Korrelasjonsteoremet»

$$f(x, y) \circ h(x, y) \Leftrightarrow F(u, v)^* \cdot H(u, v)$$

- Korrelasjon i billedometen  $\Leftrightarrow$  Multiplikasjon (med  $F^*(u, v)$ ) i frekvensdomenet
- Med  $F(u, v)^*$  menes den kompleks-konjugerte til  $F(u, v)$
- Det motsatte gjelder også:

$$f(x, y)^* \cdot h(x, y) \Leftrightarrow F(u, v) \circ H(u, v)$$

- Brukes f.eks. til templatmatching

Bortsett fra komplekskonjugeringen, er dette helt likt konvolusjonsteoremet!

2017.03.29

INF2310

33 / 39

## Bruk av vindusfunksjoner

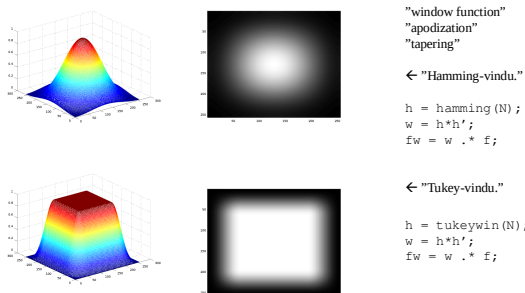
- Må se på bildet som periodisk  
 => Det oppstår diskontinuiteter i kantene av bildet  
 => «kunstige» bidrag på aksene i spekteret
- For å begrense slike høyfrekvente bidrag kan man bruke en vindusfunksjon og vekte dataene før DFT beregnes
  - Vindusfunksjonene modifierer pikselverdiene slik at de går mot null i enden av sekvensene
  - Lag  $f_w(x, y) = f(x, y)w(x, y)$
  - Ta DFT av  $f_w(x, y)$
- "Bildet" kan være en liten del av et større bilde, jfr egenskapsuttrekning

2017.03.29

INF2310

34 / 39

## Eksempler på vindusfunksjoner



2017.03.29

INF2310

35 / 39

## Effekten av vinduer

- Hvis vi bruker vindusfunksjon til å redusere effekten av bildekantene i spekteret gjør vi  $f_w(x, y) = f(x, y)w(x, y)$  før FFT
- Dette gjør at bidragene langs aksene i Fourier-spekteret reduseres, men vi påvirker også andre frekvenser i bildet
- Effekten av en multiplikasjon i billedometen er en konvolusjon i frekvensdomenet (konvolusjonsteoremet)
  - Multiplikasjon med en "bred klokkefunksjon" i billedometen er ekvivalent med en konvolusjon av en "smal klokkefunksjon" i frekvensdomenet
  - Bruk av vindusfunksjon gir en "blurring" av spekteret

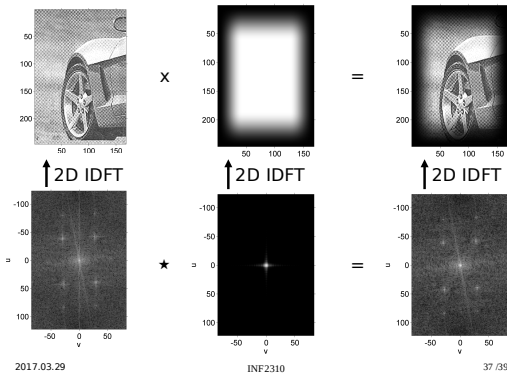
jfr. konvolusjonsteoremet

2017.03.29

INF2310

36 / 39

## Eksempel, bruk av vindusfunksjon



## Vindusfunksjoner

- Det finnes **mange typer vindusfunksjoner**.
- Ofte defineres de i 1D og utvides til 2D ved matrisemultiplikasjon.
  - 1D samplet vindusfunksjon  $h$  (kolonnevektor) gir 2D-en ved  $hh^T$
- Forrige eksempel benyttet *Tukey-vinduet*, som i 1D er definert som:

$$w(n) = \begin{cases} \frac{1}{2} \left[ 1 + \cos \left( \pi \left( \frac{2n}{\alpha(N-1)} - 1 \right) \right) \right] & \text{when } 0 \leq n \leq \frac{\alpha(N-1)}{2} \\ 1 & \text{when } \frac{\alpha(N-1)}{2} \leq n \leq (N-1)(1 - \frac{\alpha}{2}) \\ \frac{1}{2} \left[ 1 + \cos \left( \pi \left( \frac{2n}{\alpha(N-1)} - \frac{2}{\alpha} + 1 \right) \right) \right] & \text{when } (N-1)(1 - \frac{\alpha}{2}) \leq n \leq (N-1) \end{cases}$$

- Parameteren  $\alpha$  kontrollerer skarpheten til overgangen; 0 gir et rektangulært vindu, 1 gir et glatt vindu kalt *Hann vindu*.
- Vindusfunksjoner kan også **brukes i Fourier-rommet**, da til å **definere overgangene i et filter**.
  - Butterworth og Gaussisk er vindusfunksjoner.
  - Alle vindusfunksjoner kan brukes i begge domener.

2017.03.29

INF2310

38/39

## Oppsummering

- Konvolusjonsteoremet: Konvolusjon i billedetrommet er ekvivalent med elementvis multiplikasjon i frekvensetrommet, og omvendt
- Anvendelser
  - Design av filtre i frekvensetrommet
    - Lavpass, høypass, båndpass, båndstopp, notch
    - «Myke» overganger -> redusere ringing
  - Analyse av konvolusjonsfiltre
  - Rask implementasjon av større konvolusjonsfiltre
- Vindusfunksjoner

2017.03.29

INF2310

39/39